

22-41-AD-VE-118

Contacto entre micasquistos de la Unidad de Abla (izquierda) con los de la Unidad inferior (derecha).



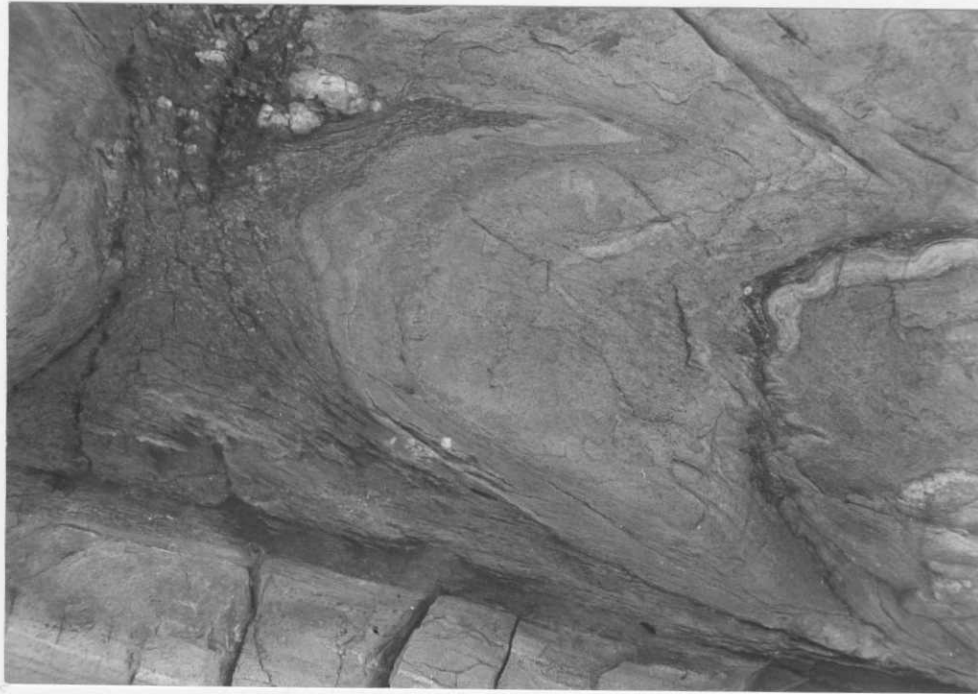
22-41-AD-VE-119

Aspecto de los micasquistos y cuarcitas de la Unidad inferior.



22-41-AD-VE-120

Nivel de mármol en la Unidad inferior. Vena de calcita  
abudinada.



22-41-AD-VE-121

Cuarcitas de la Unidad inferior. Pliegue de la segunda fase alpina.



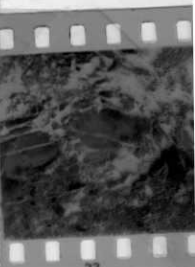
22-41-AD-VE-122

Micasquitos de la Unidad inferior. Pliegue de la tercera fase alpina.



22-41-AD-VE-123

Idem.



33

22-41-AD-VE-124

Cuarcitas de la Unidad inferior, afectados por las dos primeras fases de plegamiento ( $F_1$  y  $F_2$ ).



22-41-AD-VE-125

Cuarcitas del techo de la Unidad inferior, con una linea  
ridad manifiesta.

22-41-AD-VE-126

Panorámica de los terrenos post-orogénicos de la hoja de Fiñana  
(en primer término). Al fondo Sierra Nevada.



22-41-AD-VE-400



Micasquists de la Unidad inferior. Esquistosidad de  
crenulación de la tercera fase alpina.



22-41-AD-VE-401

Pliegues similares en cuarcitas de la Unidad inferior.

22-41-AD-VE-402

Aspecto de los micasquistos grafitosos de la unidad inferior. La esquistosidad que se observa es la segunda ( $S_2$ ).



22-41-AD-VE-403

Superficie de corrimiento intermicasquistas de la Unidad inferior, posterior a la S2.





22-41-AD-VE-404

Esquistosidad principal (S2) en las cuarcitas de la Unitad inferior.

$$\sum_{s_0, s_1} \sum_{s_2} =$$

1

Idem. que la anterior.

22-41-AD-VE-405



22-41-AD-VE-406

Esquistosidad principal ( $S_2$ ) de flujo en micasquistos de Unidad inferior, afectada por otra posterior ( $S_3$ ) de crenulación.

22-41-AD-VE-407

Idem. a la anterior.





22-41-AD-VE-408

Pliégue en cuarcitas de la Unidad inferior.

22-41-AD-VE-409

Idem. a la anterior.





22-41-AD-VE-410

Cuarcitas feldespáticas del techo de la Unidad inferior.  
Presentan una manifiesta linearidad.



22-41-AD-VE-411

Esquistosidad de crenulación en micasquistos de la Uni  
dad inferior.



22-41-AD-VE-412

Idem. que 411, pero en la Unidad de Abla.



22-41-AD-VE-413

Micasquistos feldespáticos de la Unidad superior. Se ob-  
servan dos esquistosidades.



22-41-AD-VE-414

Pliques verticales de la tercera fase de plegamiento alpino, en micasquistos feldespáticos de la Unidad su perior.

22-41-AD-VE-415

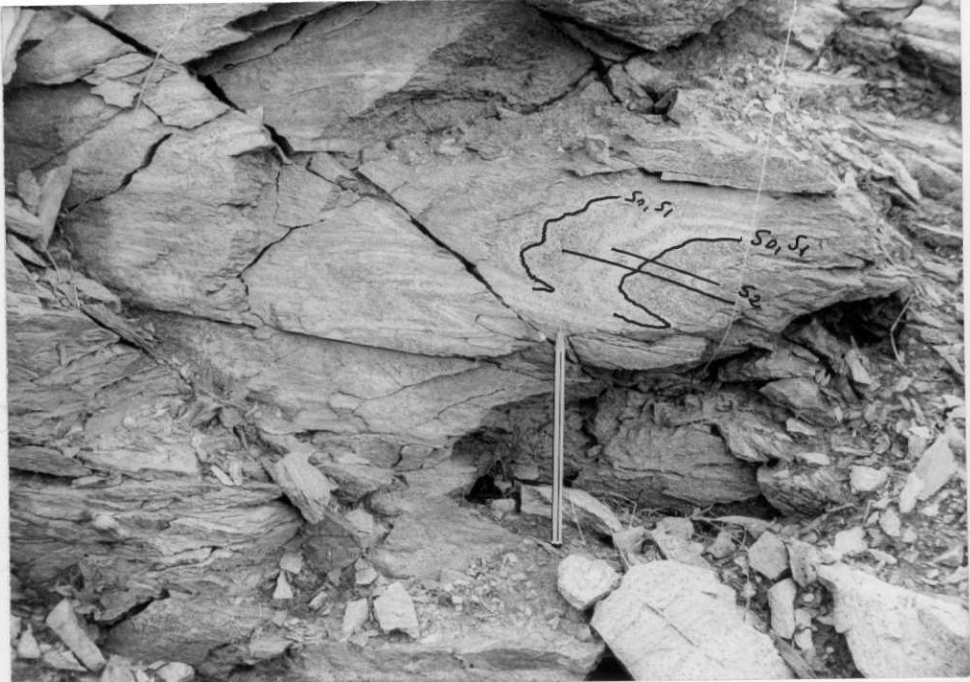
Esquistosidad de cre  
nulación en micasquis  
tos grafitosos de la  
Unidad de Abla.





22-41-AD-VE-416

Pliques en micasquitos feldespáticos, en los cuales se observan dos esquistosidades.



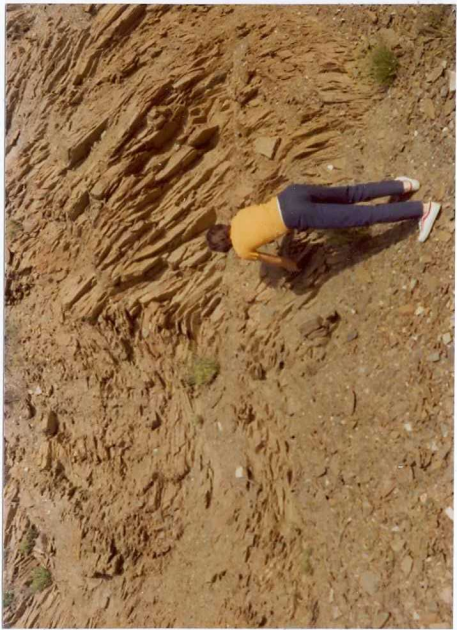
22-41-AD-VE-417

Pliques de segunda fase en cuarcitas feldespáticas  
de la Unidad inferior.



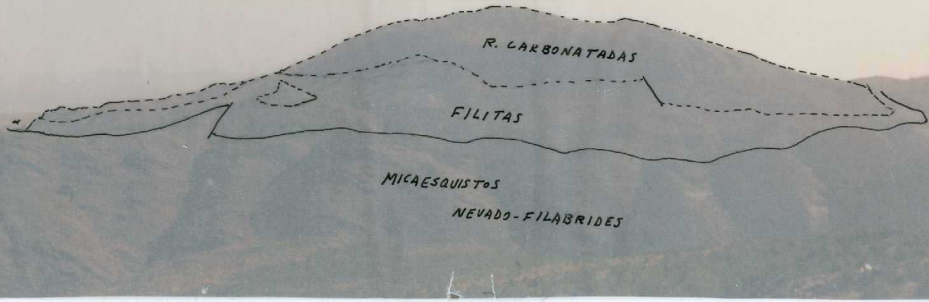
22-41-AD-VE-418

Priegues similares de la primera fase en cuarcitas de la Unidad de Abla.



22-41-AD-VE-419

Pliques póstumos verticales en micasquistos de la  
Unidad de Abla.



22-41-AD-VE-420

Contacto entre el Nevado-Filábride y el Alpujárride en el cerro de la Yedra.



22-41-AD-VE-421

Pliegues de la tercera fase alpina, en albititas de la  
Unidad inferior.



22-41-AD-VE-422

Idem. que la anterior.



22-41-AD-VE-423

Piegues de la primera fase alpina ( $F_1$ ) en micasquitos feldespáticos de la Unidad inferior.



22-41-AD-VE-424

Sucesivas fases de plegamiento en micasquistos feldespáticos de la Unidad superior.



22-41-AD-VE-425

Pliegues póstumos en micasquistos feldespáticos de la  
Unidad superior.



22-41-AD-VE-426

Mesopliegue vertical de la tercera fase alpina en cuarcitas de la Unidad superior. Obsérvese una linearidad - oblicua (1) al eje del pliegue.



22-41-AD-VE-427

Pliques cilíndricos en mármol de la Unidad superior.



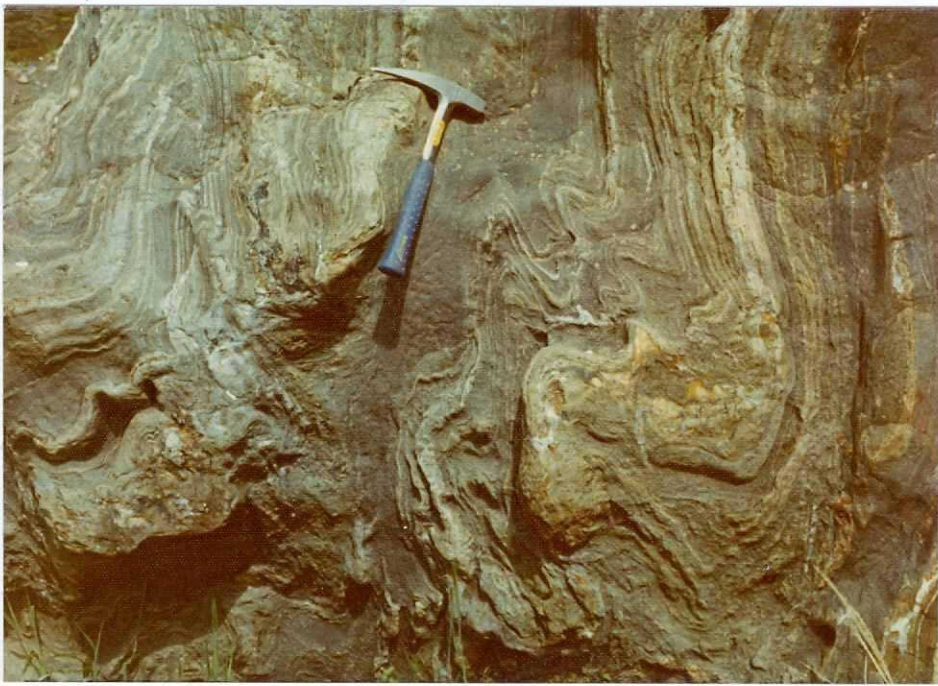
22-41-AD-VE-428

Aspecto de las metabasitas de la Unidad superior en el Collado de Floranes.



22-41-AD-VE-429

Metabasitas en el Arroyo de Bodurria. Se observa el plegamiento fluidal de las venas de cuarzo.



22-41-AD-VE-430

Idem. que la anterior.